

УДК 629.735-82

Ш. Р. ГАЛЛЯМОВ, Ю. К. КИРИЛЛОВ, А. В. МЕСРОПЯН, Ю. С. ТЕЛИЦЫН,  
В. А. ЦЕЛИЩЕВ

## ПРИМЕНЕНИЕ ЭМПИРИЧЕСКИХ ЗАВИСИМОСТЕЙ В МАТЕМАТИЧЕСКОЙ МОДЕЛИ СТРУЙНОЙ ГИДРАВЛИЧЕСКОЙ РУЛЕВОЙ МАШИНЫ

Рассматривается применение экспериментальных данных гидравлического привода летательного аппарата в численном исследовании: представлены эмпирические зависимости и характеристики исследуемого объекта, выполнен анализ разработанной математической модели исследуемого объекта на адекватность реальному объекту, рассмотрены линейные и нелинейные модели гидравлического привода. Системы автоматического управления; экспериментальные исследования; математическая модель

Усовершенствование гидравлических приводов (ГП) летательных аппаратов (ЛА) влечет за собой увеличение технических требований к исполнительным и регуливающим механизмам. Исследование и проектирование основных изделий ЛА на основе экспериментальных данных — очень трудоемкая работа с большими временными и материальными затратами.

Струйные гидравлические рулевые машины (СГРМ), широко применяемые в авиационной и ракетной технике, выпускаются и проходят испытания в ФГУН Государственный ракетный центр «КБ имени академика В. П. Макеева». Проведение стендовых испытаний гидравлических приводов (ГП) мелкосерийного производства — очень трудоемкая и дорогостоящая операция. Это обуславливает актуальность качественного анализа по результатам обработки и обобщения экспериментальных данных, полученных в ГРЦ «КБ имени академика В. П. Макеева». На сегодняшний день разработано достаточно много математических моделей, которые с той или иной степенью адекватности описывают физические процессы, протекающие в полостях гидравлических усилителей ГП ЛА [1, 2, 4]. Переход от линейных моделей к нелинейным моделям позволяет приблизить результаты теоретических исследований к результатам, полученным при проведении экспериментальных исследований [3–5]. Необходимо, чтобы разработанные математические модели были адекватны реальному объекту. Проверить адекватность математических моделей реальному объекту можно с помощью

анализа экспериментальных данных. С помощью анализа экспериментальных данных можно не только выявить погрешность расчетов, но и внести изменения в математические модели.

Анализ экспериментальных статических характеристик СГРМ показывает, что на определенном интервале значений перемещений струйной трубки ( $z = 0 \dots z_{\max}$ ) и значений перепадов давлений в полостях ГЦ ( $\Delta P_{ГЦ} = 0 \dots 4,5 \cdot 10^6$  Па) расходно-перепадную характеристику можно аппроксимировать линейной зависимостью (рис. 1). Используя зависимости для линейной расходно-перепадной характеристики [3], можно упростить математическую модель СГРМ, представленную в [4]:

$$\begin{aligned}
 L \frac{di(t)}{dt} + R_{ЭМП} i(t) + K_{ПЭ} \cdot \frac{dz(t)}{l} &= \\
 &= U - K_{OC} \cdot y(t); \\
 \frac{1}{l} \cdot (J \cdot \frac{d^2 z(t)}{dt^2} + K_V \cdot \frac{dz(t)}{dt} + K_{m\alpha} \cdot z(t) + \\
 + K_{ПЭ} \cdot z(t)) &= K_{mi} \cdot i(t); \\
 K_{qz} \cdot z(t) - K_{qp} \cdot P_{ДВ}(t) &= \\
 = A_{ЭФ} \cdot \frac{dy(t)}{dt} + \frac{V_{ГЦ}}{2 \cdot E} \frac{dP_{ДВ}(t)}{dt}; \\
 m \cdot \frac{d^2 y(t)}{dt^2} &= A_{ЭФ} \cdot P_{ДВ}(t) - \\
 - K_{VP} \cdot \frac{dy(t)}{dt} - c_H \cdot [y(t) - y_n(t)]; \\
 m_H \frac{d^2 y_H(t)}{dt^2} &= c_H \cdot [y(t) - y_n(t)] - R - F_{ТРС}.
 \end{aligned}
 \tag{1}$$



В первом уравнении системы (уравнение электрической цепи) (1)  $L$  — индуктивность обмотки (Гн),  $R_{ЭМП}$  — сопротивление обмотки (Ом),  $i(t)$  — функция силы тока, изменение силы тока с течением времени (А),  $K_{ПЭ}$  — коэффициент противо-ЭДС,  $l$  — длина струйной трубки (м),  $K_{OC}$  — коэффициент обратной связи ( $\frac{м}{В}$ ),  $y(t)$  — функция перемещения поршня ГЦ от времени (м),  $U$  — входное напряжение в катушке электромеханического преобразователя (В).

Во втором уравнении (уравнение динамики ЭМП)  $J$  — момент инерции ( $кг \cdot м^2$ ),  $K_V$  — коэффициент вязкого демпфирования струйной трубки ( $\frac{Н \cdot м \cdot с}{рад}$ ),  $K_{m\alpha}$  — коэффициент жесткости магнитной пружины ( $\frac{Н \cdot м}{рад}$ ),  $K_{mi}$  — коэффициент моментной характеристики ( $\frac{Н \cdot м}{А}$ ).

В третьем уравнении (уравнение расхода рабочей жидкости)  $K_{qz}$  — коэффициент усиления расхода ( $\frac{м^2}{с}$ ),  $K_{qp}$  — коэффициент скольжения давления ( $\frac{м^3}{Па \cdot с}$ ),  $z(t)$  — функция перемещения струйной трубки, перемещение струйной трубки изменяется с течением времени (м),  $A_{ЭФ}$  — эффективная площадь ГЦ ( $м^2$ ),  $V_{ГЦ}$  — объем рабочей жидкости в полости ГЦ ( $м^3$ ),  $P_{дв}(t)$  — функция изменения перепадов давлений в полостях ГЦ с течением времени (Па),  $E$  — модуль объемной упругости (Па).

В четвертом уравнении системы (1)  $m$  — масса поршня ГЦ (кг),  $K_{VP}$  — коэффициент вязкого демпфирования поршня ГЦ ( $\frac{Н \cdot с}{м}$ ),  $c_H$  — коэффициент жесткости силовой проводки между штоком ГЦ и нагрузки (Н / м),  $y_n(t)$  — перемещение нагрузки (м).

В пятом уравнении системы (1)  $m_H$  — масса нагрузки (кг),  $F_{ТРС}$  — сила трения в механической передаче (Н),  $R$  — статическая нагрузка (Н).

Коэффициенты  $K_{qz}$  и  $K_{qp}$  были получены на основе экспериментальных данных расходно-перепадной характеристики СГРМ. На рис. 1 построена зависимость  $Q_{ГЦ} = K_{qz} \cdot z - K_{qp} \cdot \Delta P_{ГЦ}$ , точками отмечен эксперимент, здесь  $K_{qz} = 0,2 \text{ м}^2/\text{с}$ ,  $K_{qp} = 1 \cdot 10^{-11,2} \text{ м}^3/(\text{Па} \cdot \text{с})$ .

В математической модели (1) не учтено влияние перемещения корпуса ГЦ на расходно-перепадную характеристику, а также отсутствует уравнение движения корпуса ГЦ. Уравнение расходной характеристики с учетом динамики корпуса ГЦ имеет вид

$$K_{qz} \cdot z(t) - K_{qp} \cdot P_{дв}(t) = A_{ЭФ} \cdot \frac{dy(t)}{dt} - A_{ЭФ} \cdot \frac{dy_{ГЦ}(t)}{dt} + \frac{V_{ГЦ}}{2 \cdot E} \frac{dP_{дв}(t)}{dt}, \quad (2)$$

где  $y_{ГЦ}(t)$  — перемещение корпуса ГЦ.

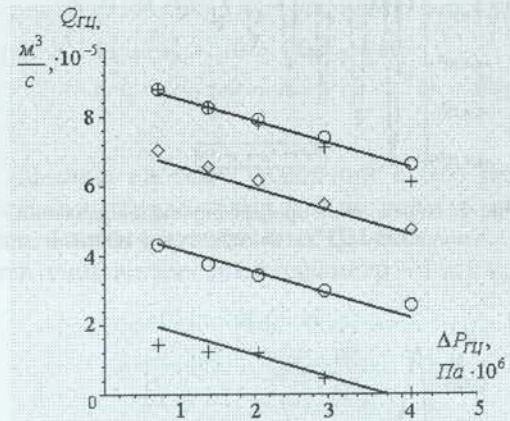


Рис. 1. Экспериментальная линейная расходно-перепадная характеристика СГРМ

Уравнения движения поршня ГЦ, нагрузки и корпуса ГЦ имеют вид

$$\begin{aligned} m \cdot \frac{d^2y(t)}{dt^2} &= A_{ЭФ} \cdot P_{дв}(t) - K_{VP} \cdot \frac{dy(t)}{dt} - F_{упр}; \\ m_H \frac{d^2y_H(t)}{dt^2} &= F_{упр} - R - F_{ТРС}; \\ m_{ГЦ} \frac{d^2y_{ГЦ}(t)}{dt^2} &= A_{ЭФ} \cdot P_{дв}(t) - c_{ГЦ} \cdot y_{ГЦ}(t) - \\ &- K_{VP} \frac{dy(t)}{dt} - F_{ТРС}; \end{aligned} \quad (3)$$

где  $m_{ГЦ}$  — масса корпуса ГЦ (кг),  $c_{ГЦ}$  — коэффициент жесткости крепления корпуса ГЦ (Н/м),  $F_{ТРС}$  — сила сухого трения (Н),  $F_{упр}$  — сила упругости, которая находится по следующей зависимости:

$$F_{упр} = c_H \cdot (y(t) - y_n(t) - y_{ГЦ}(t)). \quad (4)$$

Переходные процессы численных исследований уравнений (1)–(3) представлены на рис. 2–5.



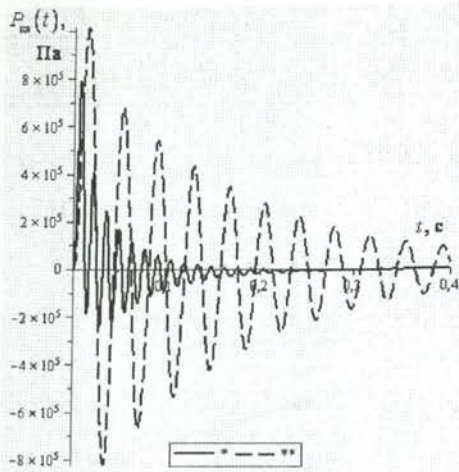


Рис. 2. Переходный процесс перепадов давления в полостях ГЦ (\* — эмпирическая модель)

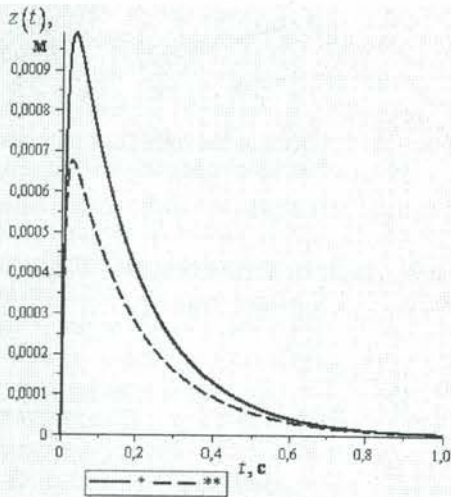


Рис. 3. Переходный процесс перемещения струйной трубки (\* — эмпирическая модель)

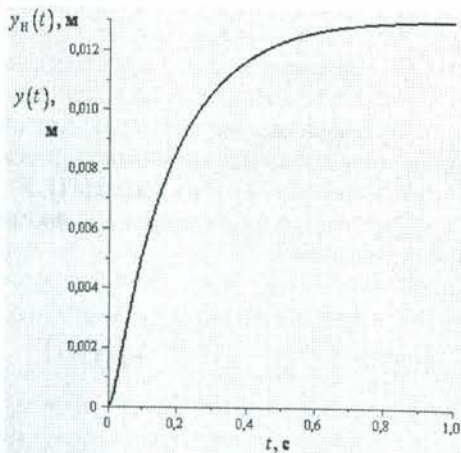


Рис. 4. Переходный процесс перемещения поршня и нагрузки ГЦ ( $c_{ГЦ} = 10^8$  Н/м,  $c_H = 10^8$  Н/м)

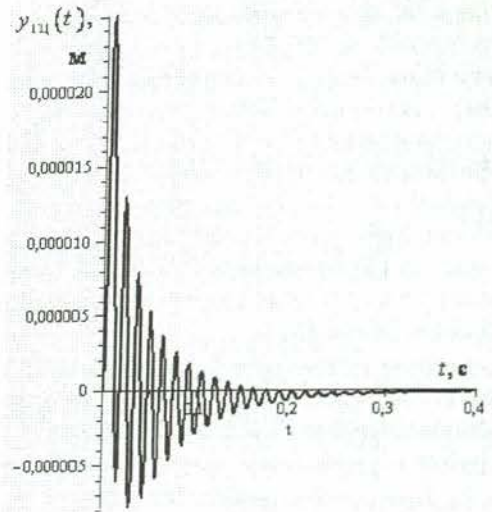


Рис. 5. Переходный процесс перемещения корпуса ГЦ ( $c_{ГЦ} = 10^8$  Н/м)

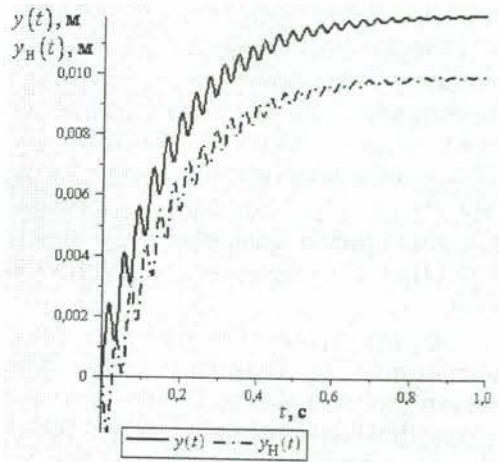


Рис. 6. Переходный процесс перемещения поршня и нагрузки ГЦ, эмпирическая модель ( $c_{ГЦ} = 10^7$  Н/м,  $c_H = 10^7$  Н/м)

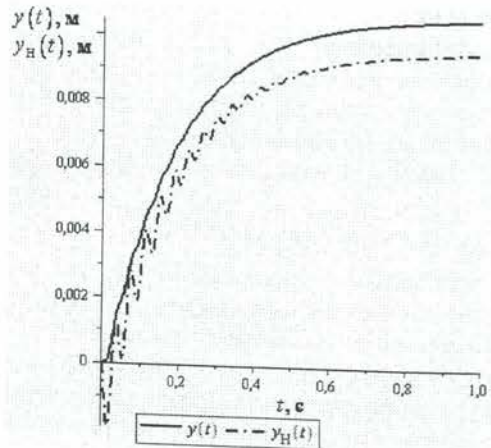


Рис. 7. Переходный процесс перемещения поршня и нагрузки ГЦ, теоретическая модель ( $c_{ГЦ} = 10^7$  Н/м,  $c_H = 10^7$  Н/м)

Анализ переходных процессов показывает, что результаты измененной модели (2, 3) заметно отличаются от предыдущей модели (1). Так, например, период колебаний переходного процесса перепада давлений в полостях ГЦ (рис. 2) новой модели намного меньше, чем при использовании модели (1). Максимальное перемещение струйной трубки исследуемого объекта равно 1 мм. Переходный процесс перемещения струйной трубки новой модели более адекватен реальному объекту по сравнению с моделью (1). Переходные процессы перемещения поршня ГЦ и нагрузки не изменяются (рис. 4). Следует отметить, что статическая нагрузка  $R$  здесь отсутствует, а коэффициент жесткости силовой проводки  $c_H = 10^8$  Н/м и жесткости крепления ГЦ  $c_{ГЦ} = 10^8$  Н/м.

При значениях коэффициентов жесткости  $c_H = 10^7$  Н/м и  $c_{ГЦ} = 10^7$  Н/м переходные процессы эмпирической и теоретической моделей значительно отличаются (рис. 6 и 7). Анализ рис. 6 и 7 показывает, что разница перемещений поршня ГЦ и нагрузки при численном решении эмпирической модели больше, чем при решении теоретической модели. Это объясняется тем, что в новой модели учитывается не только жесткость связи нагрузки и поршня, но и жесткость крепления корпуса ГЦ.

Экспериментальные динамические характеристики СГРМ, снятые в ФГУП Государственный ракетный центр «КБ им. акад. В. П. Максеева» имеют вид амплитудных и фазочастотных характеристик (АФЧХ).

Численное исследование математических моделей в [1, 2, 4] сравнить с экспериментальными динамическими характеристиками СГРМ невозможно из-за нелинейного уравнения расходной характеристики. Аппроксимируя выражение расходно-перепадной характеристики линейной зависимостью, можно получить линейную математическую модель адекватную реальному объекту СГРМ. После замены системы уравнений (1)–(3) принимают вид:

$$L \cdot s \cdot i(s) + R \cdot i(s) + K_{ПЭ} \cdot \frac{s \cdot z(s)}{l} = U - K_{ОС} \cdot y(s);$$

$$\frac{J \cdot s^2 \cdot z(s)}{l} + \frac{K_V \cdot s \cdot z(s)}{l} + \frac{K_{ма} \cdot z(s)}{l} + \frac{K_{ПЭ} \cdot z(s)}{l} = K_{mi} \cdot i(s);$$

$$K_{qz} \cdot z(s) - K_{qp} \cdot \Delta P_{дв}(s) = A_{ЭФ} \cdot s \cdot y(s) + \frac{V_{ГЦ} \cdot s \cdot P_{дв}(s)}{2 \cdot E};$$

$$m_s^2 y(s) = A_{ЭФ} \cdot \Delta P_{дв}(s) - K_{VП} \cdot s \cdot y(s) - F_{ТРС} - c_H \cdot [y(s) - y_n(s) - y_{ГЦ}(s)];$$

$$m_H \cdot s^2 \cdot y_H(s) = c_H \times [y(s) - y_n(s) - y_{ГЦ}(s)] - R - F_{ТРС};$$

$$m_{ГЦ} \cdot s^2 \cdot y_{ГЦ}(s) = A_{ЭФ} \cdot \Delta P_{дв}(s) - c_{ГЦ} \cdot y_{ГЦ}(s) - K_{VП} \cdot s \cdot y(s) - F_{ТРС}. \quad (5)$$

Данную систему уравнений с 6-ю неизвестными параметрами можно решить, если внести пять передаточных функций и оставить один неизвестный параметр —  $i(s)$ , т. е.

$$z(s) = i(s) \cdot W_1,$$

$$P_{дв}(s) = z(s) \cdot W_2,$$

$$y(s) = P_{дв}(s) \cdot W_3, \quad (6)$$

$$y_H(s) = y(s) \cdot W_4,$$

$$y_{ГЦ}(s) = y(s) \cdot W_5.$$

После подстановки из системы уравнений (6) можно выразить силу тока через передаточные функции:

$$i(s) = - \left( \frac{R + F_{ТРС}}{W_1 W_2 W_3} \times \frac{1}{(m_H s^2 W_4 - c_H + c_H W_4 + c_H W_5 + c_{ГЦ} W_4)} \right). \quad (7)$$

Решение системы уравнений (5) с учетом (6) и (7) позволяет получить выражение для определения перемещения нагрузки СГРМ  $y_H(s)$ , амплитудную и фазовую частотные характеристики СГРМ (рис. 8) и (рис. 9).

Погрешность расчетов эмпирической модели меньше 5% в отличие от теоретической модели (1): теоретическая частота, при которой система переходит в неустойчивое состояние совпадает с экспериментальной. Это объясняется введением дополнительных уравнений в модель (1) и определением эмпирических коэффициентов  $K_{qz}$  и  $K_{qp}$ .

Совпадение результатов эксперимента и теории говорит о том, что линейная модель (1)–(3) адекватно описывает реальный объект.

При исследовании зависимости амплитудной частотной характеристики при определенных значениях коэффициентов усиления



расхода  $K_{qz}$  и скольжения давления  $K_{qp}$ , был выбран диапазон значений этих коэффициентов (рис. 10, 11):  $K_{qz} = 0,2 \dots 0,25 \text{ м}^2/\text{с}$ ,  $K_{qp} = 10^{-11,2} \dots 1,5 \cdot 10^{-11} \text{ м}^3/(\text{Па} \cdot \text{с})$ .

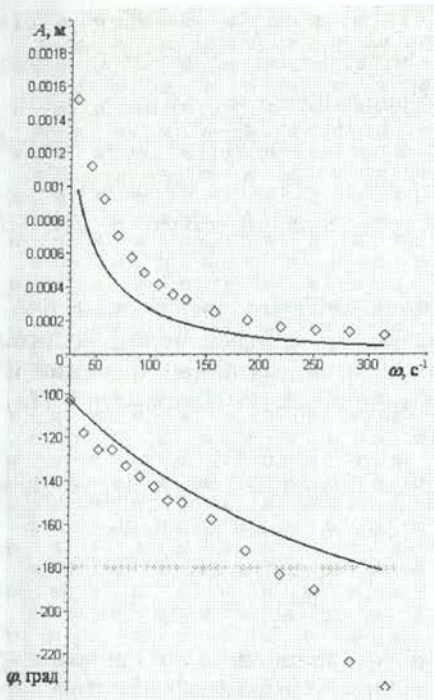


Рис. 8. АФЧХ при ненагруженном поршне ГЦ ( $m_n \leq 10$  кг). Точками показан эксперимент. Теоретическая модель

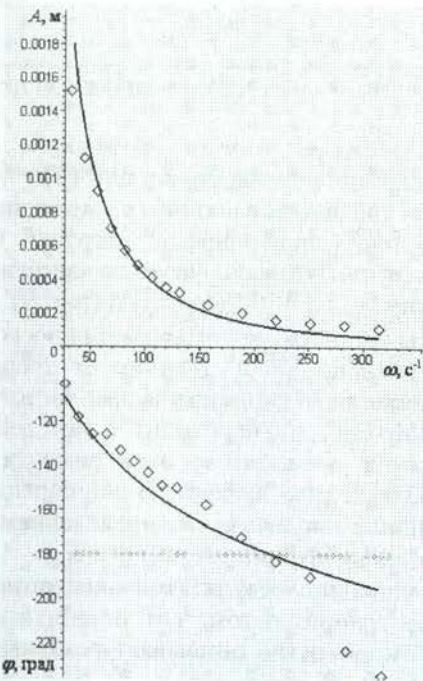


Рис. 9. АФЧХ при ненагруженном поршне ГЦ ( $m_n \leq 10$  кг). Точками показан эксперимент. Эмпирическая модель

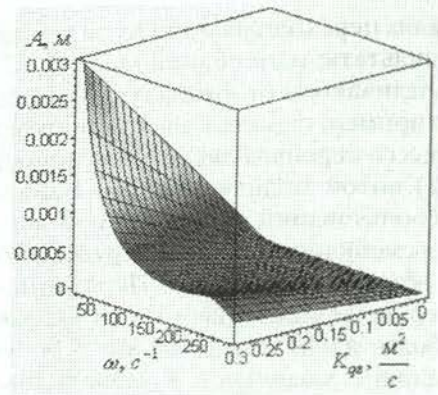


Рис. 10. АЧХ в зависимости от  $K_{qz}$

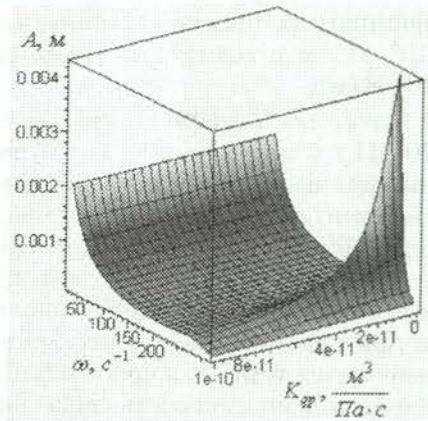


Рис. 11. АЧХ в зависимости от  $K_{qp}$

На рис. 12 и рис. 13 представлены экспериментальные АФЧХ СГРМ при нагруженном режиме работы системы (масса нагрузки 320 кг). Между исполнительным механизмом и нагрузкой наблюдается фазовое запаздывание, которое возникает из-за люфта в механической передаче.

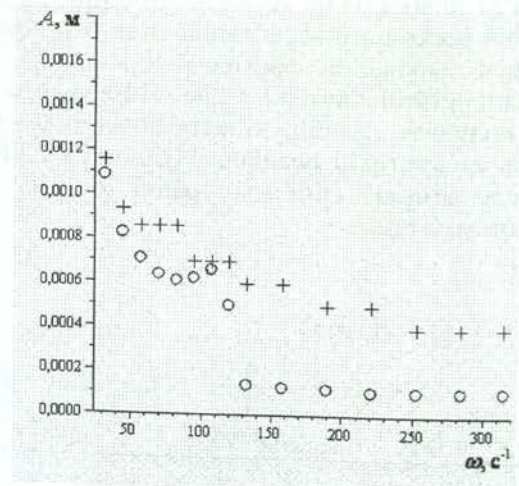


Рис. 12. Экспериментальные значения АЧХ СГРМ (+ — АЧХ нагрузки, масса нагрузки 320 кг)



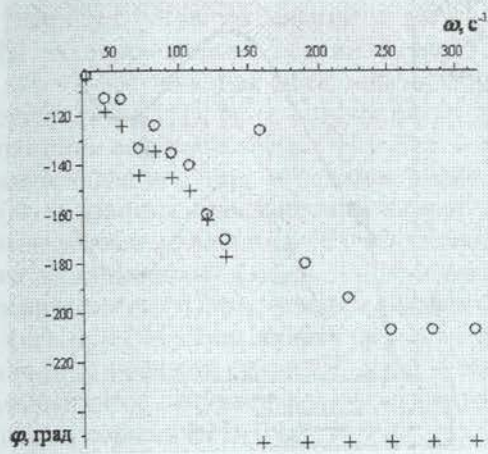


Рис. 13. Экспериментальные значения ФЧХ СГРМ (+ — ФЧХ, масса нагрузки 320 кг)

Люфт — одна из самых важных нелинейностей, которую необходимо учитывать в механической передаче, когда ведущее звено не жестко связано с ведомым. Существует очень много отечественных и зарубежных публикаций, в которых описывается несколько способов по решению данной задачи.

Часть авторов предлагают нелинейность «люфт» рассмотреть как функцию «нечувствительной зоны», уравнение которой представлено ниже [3]:

$$D_{\alpha}(x) = \begin{cases} x - \alpha, & x > \alpha, \\ 0, & |x| < \alpha, \\ x + \alpha, & x < -\alpha, \end{cases} \quad (8)$$

где  $\alpha$  — ширина зазора люфта.

Тогда система (3) примет вид

$$\begin{aligned} m \cdot \frac{d^2 y(t)}{dt^2} &= A_{\Phi} \cdot P_{дв}(t) - \\ &- K_{V\Pi} \cdot \frac{dy(t)}{dt} - \begin{cases} F_{упр}, & |y(t)| > \theta, \\ 0, & \text{otherwise,} \end{cases} \\ m_{Н} \frac{d^2 y_{Н}(t)}{dt^2} &= \begin{cases} F_{упр}, & |y(t)| > \theta, \\ 0, & \text{otherwise,} \end{cases} - \\ &- R - F_{ТРС}, \\ m_{ГЦ} \frac{d^2 y_{ГЦ}(t)}{dt^2} &= A_{\Phi} \cdot P_{дв}(t) - \\ &- c_{ГЦ} \cdot y_{ГЦ}(t) - K_{V\Pi} \frac{dy(t)}{dt} - F_{ТРС}. \end{aligned} \quad (9)$$

В ходе численного эксперимента выяснилось, что использовать данную модель в модели СГРМ можно только в случае отсутствия нагрузки на поршне ГЦ, из-за того, что коэффициент демпфирования  $K_{V\Pi}$  и жесткость силовой проводки  $c_{Н}$  не равны нулю. Результаты численного исследования представлены на рис. 14 и 15.

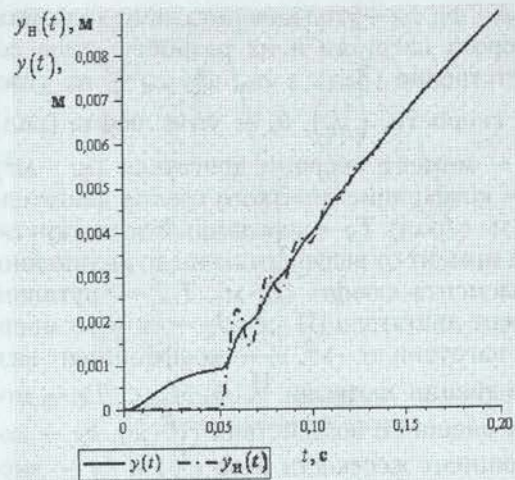


Рис. 14. Переходные процессы перемещений поршня ГЦ и нагрузки при учете нелинейности «мертвая зона»

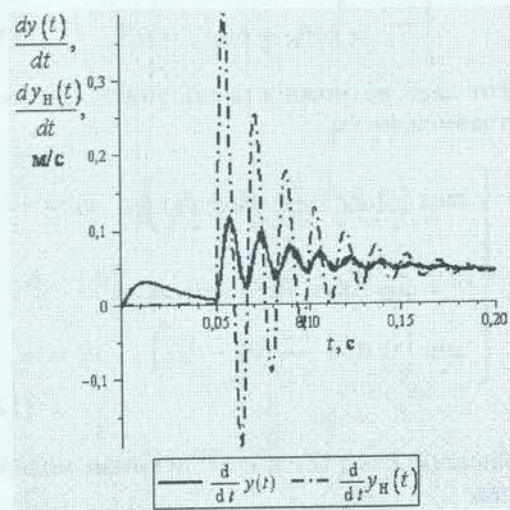


Рис. 15. Переходные процессы скоростей поршня ГЦ и нагрузки при учете нелинейности «мертвая зона»

Поэтому для получения адекватной математической модели СГРМ использовать модель «нечувствительной зоны» нельзя.

В [5] приведена зависимость, позволяющая учитывать люфт в механической передаче, когда коэффициент демпфирования  $K_{V\Pi}$  и жесткость силовой проводки  $c_{Н}$  не равны нулю. Рассматривается двухмассовая система, представляющая собой связанные с определенной жесткостью ведущего и ведомых звеньев. Математическая модель системы представлена ниже:

$$\begin{aligned} J_m \dot{\omega}_m &= -c_m \omega_m - T_S + T_m, \\ J_1 \dot{\omega}_1 &= -c_1 \omega_1 + T_S - T_d, \\ T_S &= k_S \varphi_S + c_S \omega_S, \\ \varphi_S &= \varphi_d - \varphi_b, \end{aligned} \quad (10)$$



где  $\varphi_m, \varphi_1, \varphi_d$  — угол поворота двигателя, угол поворота нагрузки и их разность углов соответственно (рад), а  $\omega_m, \omega_1, \omega_d$  — их угловые скорости,  $(1/c)$ ,  $\theta_b$  — угол люфта (рад),  $J_m$  — момент инерции двигателя (кг · м<sup>2</sup>),  $c_m$  — коэффициент вязкого трения двигателя (Н · м · с/рад),  $T_S$  — переданный валом крутящий момент от ведущего звена до нелинейного элемента «люфт» (Н · м),  $T_m$  — крутящий момент двигателя (Н · м),  $J_1$  — момент инерции нагрузки кг · м<sup>2</sup>,  $c_1$  — коэффициент вязкого трения нагрузки Н · м · с/рад,  $T_d$  — момент внешнего воздействия (Н · м),  $k_S$  — коэффициент жесткости вала  $(\frac{H}{M})$  и  $c_S$  — внутренний коэффициент демпфирования вала (Н · м · с/рад).

Если принять, что, когда  $\theta_b$  не равен 0, то момент  $T_S$  обращается в нуль, т. е.

$$T_S = k_S \theta_S + c_S \omega_S = 0. \quad (11)$$

Это дает возможность получить следующую зависимость:

$$\theta_b = \begin{cases} \max \left( 0, \theta_d + \frac{k_S}{c_S} (\theta_d - \theta_b) \right), & \theta_b = -\alpha, \\ \theta_d + \frac{k_S}{c_S} (\theta_d - \theta_b), & |\theta_b| < \alpha, \\ \min \left( 0, \theta_d + \frac{k_S}{c_S} (\theta_d - \theta_b) \right), & \theta_b = \alpha. \end{cases} \quad (12)$$

Зависимость (12) и есть искомая модель люфта.

В ходе численных исследований уравнений (9)–(11) были получены переходные процессы, представленные на рис. 16 и 17.

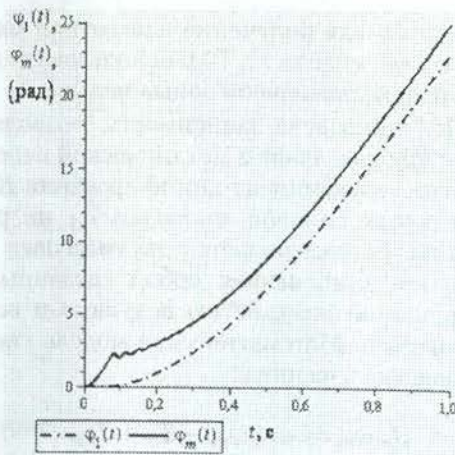


Рис. 16. Переходные процессы углов поворотов ведущего и ведомого звеньев (крутящий момент двигателя действует только в одну сторону)

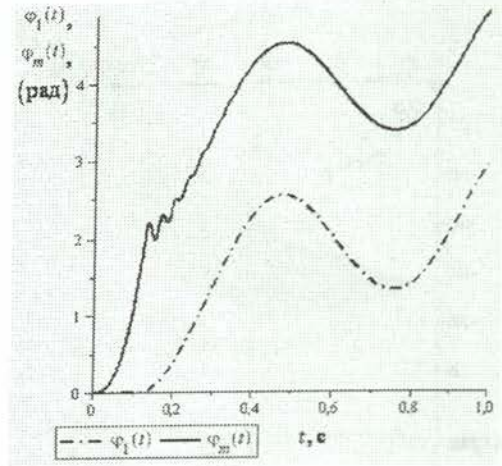


Рис. 17. Переходные процессы углов поворотов ведущего и ведомого звеньев (крутящий момент двигателя — знакопеременный)

Численное исследование уравнений (9)–(11) говорит о том, что модель (12) недоработана: в случае знакопеременного крутящего момента  $T_m$  данную модель нельзя использовать (рис. 17). Поэтому модель люфта была изменена с целью получения адекватной математической модели, учитывающей люфт в механической передаче при знакопеременном возмущающем воздействии.

Можно рассмотреть тестовую задачу, учитывающую нелинейность «люфт». Пусть рассматривается ведущее и ведомое звено с поступательным движением. Тогда математическая модель упрощенной двухмассовой системы поступательного движения, учитывающая нелинейное звено «люфт», имеет вид:

$$m_1 \frac{d^2 y_p(t)}{dt^2} = A_1 P_1 - b_1 \frac{dy_p(t)}{dt} - R_{upr}, \quad (13)$$

$$\frac{dy_d(t)}{dt} = \frac{dy_p(t)}{dt} - \frac{dy_n(t)}{dt}, \quad (14)$$

$$m_2 \frac{d^2 y_n(t)}{dt^2} = R_{upr} - b_1 \frac{dy_n(t)}{dt}, \quad (15)$$

$$\frac{dy_b(t)}{dt} = \begin{cases} \frac{dy_d(t)}{dt} + |y_b(t)| < \alpha, \\ + \frac{c_1}{b_1} (y_d(t) - y_b(t)), & \frac{dy_p(t)}{dt} > 0, \\ \frac{dy_d(t)}{dt} + y_b(t) > 0, \\ + \frac{c_1}{b_1} (y_d(t) - y_b(t)), & \frac{dy_p(t)}{dt} < 0, \\ 0, & \text{otherwise.} \end{cases} \quad (16)$$



Здесь  $m_1$  — масса ведущего звена (кг),  $y_p(t)$  — перемещение ведущего звена (м),  $A_1 \cdot P_1$  — возмущающая сила, действующая на ведущее звено (Н),  $b_1$  — коэффициент демпфирования ведущего звена ( $\frac{\text{Н} \cdot \text{с}}{\text{м}}$ ),  $R_{upr}$  — сила, связывающая ведущее и ведомое звено (Н),  $y_d(t)$  — разница перемещений между ведущим и ведомым звеньями (с учетом скоростного запаздывания) (м),  $y_n$  — перемещение ведомого звена (м),  $m_2$  — масса ведомого звена (кг),  $y_b(t)$  — зазор люфта (м),  $c_1$  — жесткость механической связи ( $\frac{\text{Н} \cdot \text{м}}{\text{м}}$ ),  $\alpha$  — максимальный зазор люфта (м),  $A_1$  — эффективная площадь поршня ( $\text{м}^2$ ).

Результат численных исследований математической модели (13)–(16) представлены на рис. 18–21.

Возмущающая сила  $A_1 P_1$  (рис. 18), изменяясь по гармоническому закону, действует на ведущее звено.

На рис. 19–20 наблюдается четкая картина движения ведущего и ведомого звеньев с учетом нелинейного люфта. Следует заметить, что также сильно влияет жесткость механической связи ( $c_1 = 10^7 \frac{\text{Н}}{\text{м}}$ ), поэтому разница в перемещениях ведущего и ведомых звеньев больше значения зазора люфта  $y_b(t)$  (рис. 19). На рис. 20 хорошо представлены переходные процессы скорости поршня ГЦ и нагрузки.

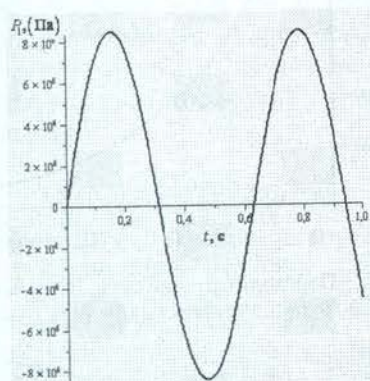


Рис. 18. Переходный процесс возмущающего воздействия

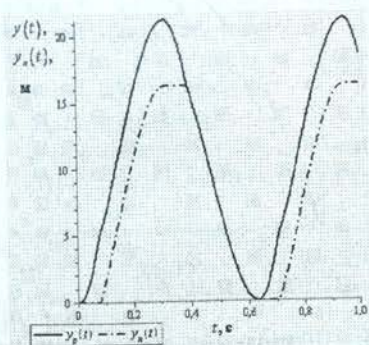


Рис. 19. Переходные процессы перемещений ведущего и ведомого звеньев

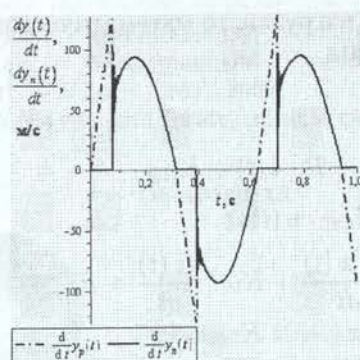


Рис. 20. Переходные процессы скоростей ведущего и ведомого звеньев

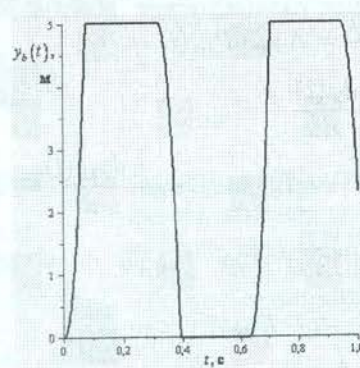


Рис. 21. Изменение зазора люфта

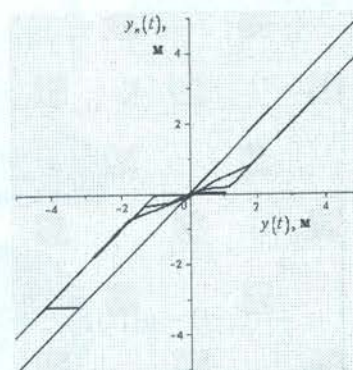


Рис. 22. Люфт в механической передаче

Переходный процесс изменения зазора люфта представлен на рис. 21. Преимущество данной модели в том, что изменение величины  $y_b(t)$  выполняется по нелинейному закону.

Численные исследования тестовой задачи показали, что модель (12)–(15), описывающую нелинейность «люфт», можно использовать в модели СГРМ (1)–(3).

Если учесть в системе уравнений (1)–(3) люфт механической передачи поршня ГЦ



СГРМ и нагрузки, то математическая модель примет вид

$$\begin{aligned}
 L \cdot \frac{di(t)}{dt} + R \cdot i(t) + K_{\Pi\Xi} \cdot \frac{dz(t)}{l} &= \\
 &= U - K_{OC} \cdot y(t), \\
 \frac{1}{l} \cdot (J \cdot \frac{d^2z(t)}{dt^2} + K_V \cdot \frac{dz(t)}{dt} + K_{m\alpha} \cdot z(t) + \\
 + K_{\Pi\Xi} \cdot z(t)) &= K_{mi} \cdot i(t), \\
 K_{qz} \cdot z(t) - K_{qp} \cdot P_{дв}(t) &= A_{\Xi\Phi} \cdot \frac{dy(t)}{dt} - \\
 - A_{\Xi\Phi} \cdot \frac{dy_{\Gamma\Pi}(t)}{dt} + \frac{V_{\Gamma\Pi}}{2 \cdot E} \frac{dP_{дв}(t)}{dt}, \\
 m \cdot \frac{d^2y(t)}{dt^2} &= A_{\Xi\Phi} \cdot P_{дв}(t) - \\
 - K_{V\Pi} \cdot \frac{dy(t)}{dt} - F_{упр}, \\
 m_{\Pi} \frac{d^2y_{\Pi}(t)}{dt^2} &= F_{упр} - K_{V\Pi} \cdot \frac{dy_{\Pi}(t)}{dt} - F_{ГРС}, \\
 m_{\Gamma\Pi} \frac{d^2y_{\Gamma\Pi}(t)}{dt^2} &= A_{\Xi\Phi} \cdot P_{дв}(t) - c_{\Gamma\Pi} \cdot y_{\Gamma\Pi}(t) - \\
 - K_{V\Pi} \frac{dy(t)}{dt} - F_{ГРС}, \\
 \frac{dy_d(t)}{dt} &= \frac{dy(t)}{dt} - \frac{dy_{\Pi}(t)}{dt} - \frac{dy_{\Gamma\Pi}(t)}{dt}, \\
 F_{упр} &= c_1 \cdot (y_d(t) - y_b(t)) + \\
 + K_{V\Pi} \cdot \left( \frac{dy_d(t)}{dt} - \frac{dy_b(t)}{dt} \right), \\
 \frac{dy_b(t)}{dt} &= \begin{cases} \frac{dy_d(t)}{dt} + |y_b(t)| < \alpha, \\ + \frac{c_1}{b_1} (y_d(t) - y_b(t)), & \frac{dy_p(t)}{dt} > 0, \\ \frac{dy_d(t)}{dt} + y_b(t) > 0, \\ + \frac{c_1}{b_1} (y_d(t) - y_b(t)), & \frac{dy_p(t)}{dt} < 0, \\ 0, & \text{otherwise.} \end{cases}
 \end{aligned}
 \tag{17}$$

Численные решения системы (17) представлены в виде переходных процессов на рис. 23–25. Как и ожидалось, переходный процесс струйной трубки остается без изменения. Переходный процесс перепадов давлений в полостях ГЦ показан на рис. 23 (на рис. 24 изображен переходный процесс перепадов давлений в полостях ГЦ в начальный момент времени). Из рисунков видно, что пока зазор люфта открыт ( $y(t) < \alpha$ ), перепад давления составляет примерно 3000 Па, этого достаточно, чтобы сдвинуть поршень ГЦ без

действия на него нагрузки. Если поршень ГЦ прошел расстояние  $y(t) > \alpha$ , перепад давления резко возрастает до значения  $3,5 \cdot 10^6$  Па, которого необходимо, чтобы переместить нагрузку  $m_n \leq 10$  кг.

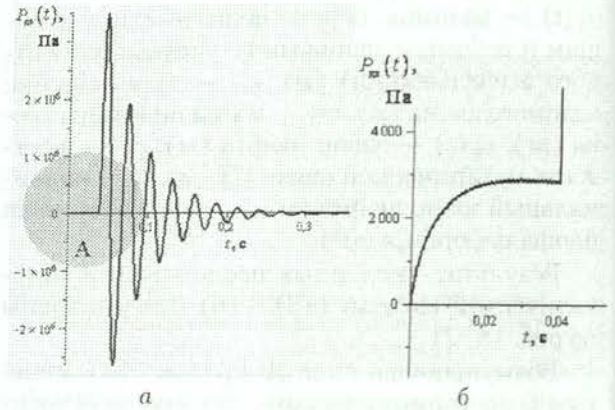


Рис. 23. Переходный процесс перепадов давления в полостях ГЦ с учетом нелинейности «люфт»: а — общий вид; б — в начальный момент времени (увеличение А)

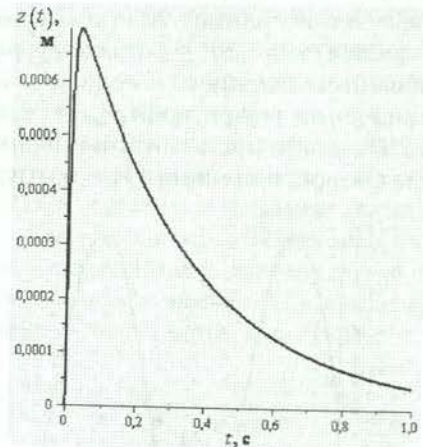


Рис. 24. Переходный процесс перемещения струйной трубки с учетом нелинейности «люфт»

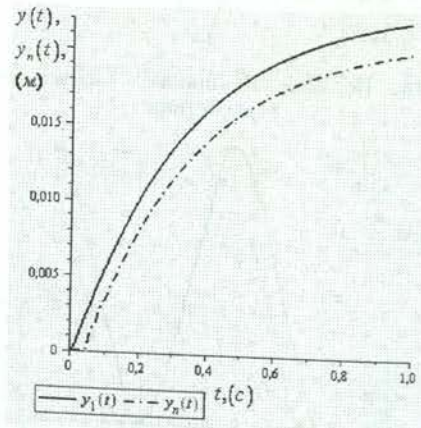


Рис. 25. Переходный процесс перемещения поршня и нагрузки ГЦ с учетом нелинейности «люфт» ( $c_{\Gamma\Pi} = 5 \cdot 10^7$  Н/м<sup>2</sup>,  $c_n = 5 \cdot 10^7$  Н/м<sup>2</sup>)



Таким образом, в данной работе была доработана линейная математическая модель СГРМ с помощью использования эмпирических зависимостей экспериментальных данных, полученных в ФГУП Государственный ракетный центр «КБ имени академика В. П. Максеева». Математические модели с нелинейным уравнением расходной характеристики сравнить с экспериментальными амплитудными и фазочастотными характеристиками СГРМ невозможно. Аппроксимация выражения расходно-перепадной характеристики линейной зависимостью, позволила получить линейную математическую модель, адекватную реальному объекту СГРМ.

В ходе анализа экспериментальных амплитудных и фазочастотных характеристик при нагруженном режиме работы СГРМ было выявлено значительное влияние нелинейности «люфт» в механической передаче между ведущим и ведомым звеньями. Поэтому была разработана нелинейная математическая модель СГРМ, которая учитывает данную нелинейность. На данном этапе проводится разработка экспериментального стенда, с помощью которого можно будет проверить адекватность нелинейной математической модели СГРМ.

Математическая модель, адекватная реальному объекту, позволяет выявить влияние различных параметров СГРМ на физические процессы, протекающие в них, а также сократить материальные и временные затраты при исследовании и доработке ГП летательных аппаратов.

#### СПИСОК ЛИТЕРАТУРЫ

1. **Галлямов, Ш. Р.** Анализ экспериментальных исследований струйных гидравлических рулевых машин / Ш. Р. Галлямов, А. В. Месропян, К. А. Широкова, В. А. Целищев // Мавлютовские чтения : Рос. науч.-техн. конф. : сб. тр. Т. 4. Уфа : УГАТУ, 2006. С. 56–59.
2. **Галлямов, Ш. Р.** Особенности проверки адекватности динамических характеристик струйных гидравлических рулевых машин / Ш. Р. Галлямов // Наука — производству. Уфа : ИИИТ, 2006. С. 68–70.
3. **Попов, Д. Н.** Динамика и регулирование гидро- и пневмосистем : учеб. для вузов / Д. Н. Попов. М. : Машиностроение, 1987. 464 с.
4. **Кирилов, Ю. К.** Струйные гидравлические рулевые машины / Ю. К. Кирилов, А. М. Русак, Ю. Н. Скорынин [и др.]. Уфа : УГАТУ, 2002. 284 с.
5. **Nordin, M.** Controlling mechanical systems with backlash — a survey /

M. Nordin, P. Gutman // Solutions and Fractals. [Электронный ресурс]. Elsevier Science Ltd, 2007. С. 343–350. (www.elsevier.com/locate/automatica).

#### ОБ АВТОРАХ



**Галлямов Шамиль Раши-тович**, асп. каф. прикл. гидромеханики. Дипл. магистр по энергомашиностроению (УГАТУ, 2006). Готовит дис. в обл. систем автоматизации двигательных установок.



**Кириллов Юрий Коммунарович**, зам. ген. констр. ГРЦ «КБ им. акад. В. А. Максеева». Дипл. инж.-мех. по механ. оборуд. автоматич. установок (Челяб. политехн. ин-т, 1976).



**Месропян Арсен Владимирович**, доцент каф. прикл. гидромеханики. Дипл. инж.-мех. (УГАТУ, 1996). Канд. техн. наук по системам приводов (Пермск. гос. тех. ун-т, 2000). Иссл. в обл. гидроприводов систем управления ЛА.



**Телицын Юрий Сергеевич**, перв. зам. ген. конст. ГРЦ «КБ им. акад. В. А. Максеева». Дипл. инж.-мех. по произв. ЛА (Казанск. авиац. ин-т, 1969).



**Целищев Владимир Александрович**, проф. каф. прикл. гидромеханики. Дипл. инж.-мех. по гидравл. машинам (УГАТУ, 1982). Д-р техн. наук по тепловым двигателям (УГАТУ, 2000). Иссл. в обл. систем автоматизации ЛА и двигательных установок.